

文章编号: 1674 - 5566(2011)01 - 0008 - 07

大珠母贝珍珠质相关基因 N36 和 N45 的克隆与序列特征分析

王玉梅^{1,2}, 夏建红¹, 唐仁生¹, 喻达辉¹

(1. 中国水产科学研究院 南海水产研究所, 农业部海水养殖生态与质量控制重点开放实验室, 广东 广州 510300;
2. 上海海洋大学 水产与生命学院, 上海 201306)

摘要: 采用同源克隆从大珠母贝外套膜中扩增到 2 种编码 N66 类似蛋白的基因, 分别命名为 N36 和 N45。N36 的开放阅读框为 987 bp, 编码 329 个氨基酸, 推测分子量为 35.7 ku。N45 的开放阅读框为 1 164 bp, 编码 387 个氨基酸, 推测分子量为 44.6 ku。二者都富含甘氨酸、天冬酰胺和天冬氨酸。N36 蛋白不含信号肽, N45 蛋白在 N-端有一段 22 个氨基酸的信号肽。N36 蛋白和 N45 蛋白分别有 2 个和 1 个糖基化位点, 分别有 13 个和 16 个潜在的磷酸化位点, 它们的二级结构都由 α -螺旋、 β -折叠和无规卷曲组成。系统进化分析显示 N36 和 N45 与 N66 进化关系最近, 而与其他 nacrein 蛋白则距离较远。与合浦珠母贝的 nacrein 和大珠母贝的 N66 类似, N36 和 N45 蛋白都包含 2 种功能结构域: 1 个 α -碳酸酐酶结构域和 1 个 Gly-Xaa-Asn (Xaa = Asp, Asn or Glu) 重复结构域。推测 N36 和 N45 与珍珠层碳酸钙晶体的形成有关。

研究亮点: 珍珠形成是一种特殊的生物矿化作用, 所形成的珍珠层具有高硬度的机械性能, 且具有特殊的结构和良好的医药价值, 但其形成机制以及组成成份并不完全清楚。本研究克隆了 2 个与珍珠形成相关的基因, 并对其序列特征进行了分析, 为进一步研究其结构和功能奠定了重要基础。

关键词: 大珠母贝; 珍珠质相关基因; α -碳酸酐酶结构域; Gly-Xaa-Asn 重复结构域

中图分类号: S 917

文献标识码: A

珍珠质(nacre)是珍珠贝外套膜分泌的有机质(主要是蛋白质)调控 CaCO_3 形成的文石晶体复合物。最早报道的与珍珠质形成相关的基因是合浦珠母贝(*Pinctada fucata*)的 nacrein 基因^[1], nacrein 蛋白是一种水溶性基质蛋白, 有 2 个功能结构域——碳酸酐酶结构域和 Gly-Xaa-Asn 重复结构域。碳酸酐酶结构域能够催化 CO_2 的水合反应, Gly-Xaa-Asn 重复结构域则具有 Ca^{2+} 结合活性, 这类蛋白可能参与珍珠层碳酸钙晶体的形成, 对碳酸钙晶体的沉淀具有负调节作用^[2]。后来又报道了一些与 nacrein 类似的基质蛋白, 包括大珠母贝(*Pinctada maxima*)的 N66^[3-5] 和大珠母贝、合浦珠母贝、虾夷扇贝(*Mizuhopecten yessoensis*)、岩牡蛎(*Crassostrea*

nippuna)的几种 nacrein-like proteins^[3], 它们都具有碳酸酐酶结构域和 Gly-Xaa-Asn 重复结构域。本研究以大珠母贝外套膜组织为材料, 对 nacrein 类基因进行同源克隆和序列特征分析, 以期为探讨珍珠质形成的分子生物学机制提供基础资料。

1 材料与方法

1.1 材料

大珠母贝采集于南海水产研究所海南三亚热带水产研究开发中心, 解剖后取外套膜, 用液氮速冻后保存于 -80 °C 低温冰箱。

1.2 总 RNA 的提取与 cDNA 的合成

取大珠母贝外套膜组织, 加液氮浸泡并充分研磨, 按照 SV Total RNA Isolation System

收稿日期: 2010-01-12 修回日期: 2010-05-02

基金项目: 国家“八六三”高技术研究发展计划项目(2006AA10A415); 广东省科技兴海项目(A200701C02, A200899C04); 中央级公益性科研院所基本科研业务费专项资金项目(2007TS07)

作者简介: 王玉梅(1982-), 女, 硕士研究生, 专业方向为海洋生物技术。E-mail:yumei20081982@163.com

通讯作者: 喻达辉, E-mail:pearlydh@163.com

(Promega)操作手册提取总 RNA。按照 SMARTTM PCR cDNA Synthesis Kit (Clontech) 操作手册,合成大珠母贝外套膜 cDNA。

1.3 N66L 基因的克隆

根据已知的大珠母贝的 N66 基因^[4] (GenBank 登录号 AB032612)、nacrein-like protein 基因^[3] (AB252480, AB252479) 和合浦珠母贝的 nacrein 基因^[1] (D83523) 序列设计合成 2 对引物 N66L-F1 (ATG GAG CCT CAT TTG GTK TTC C) / N66L-R1 (TGT GTK GGA CGT CTR GTT C) 和 N66L-F2 (ATG TGG AGA ATG ACG ACG CT) / N66L-R2 (TAT GGA GTT TTT GTA CAC), 对上述 cDNA 进行 PCR 扩增。PCR 反应总体积为 20 μL, 包括 0.2 mmol/L dNTP, 1 μmol/L 的引物, 4 μmol/L 的 MgCl₂, 2 μL 10 × buffer, 0.5 U 的 Taq 酶。PCR 程序如下: 95 °C 5 min; 95 °C 30 s, 57 °C 30 s, 72 °C 2 min, 30 个循环; 72 °C 10 min。

PCR 产物经 1.0% 琼脂糖凝胶电泳后, 用 AxyPrepTM DNA Gel Extraction Kit (AXYGEN) 对目的片段进行纯化, 纯化产物与 pMD18-T 载体 (TaKaRa) 连接, 转化到感受态大肠杆菌 (*Escherichia coli*) Top10, 经 PCR 鉴定后将阳性克隆送往上海生工公司测序。

1.4 序列特征与结构分析

用 BLASTX 程序搜索同源基因^[5], 用 BLASTP 分析蛋白氨基酸序列的保守域。用 SignalP 3.0 预测信号肽序列^[6], 用 Tmpred 预测穿膜结构域^[7]。用 Prosise 分析蛋白质的结构域^[8], 用 Predator 预测其二级结构^[9]。通过 NetNGlyc 1.0 预测糖基化位点^[10], 通过 NetPhos 2.0 预测磷酸化位点^[11]。用 Clustal X 进行多序列比对^[12], 并用 MEGA 3.1 构建进化树^[13]。

2 结果与分析

2.1 序列分析

以 N66L-F1/N66L-R1 和 N66L-F2/N66L-R2 为引物, 分别扩增得到 987 bp 和 1 232 bp 的 cDNA 片段。BLAST 分析表明获得的 2 个片段都与 GenBank 中大珠母贝基因 N66 的同源性最高, 因而参照 N66 以蛋白质分子量命名的方式, 分别将它们命名为 N36 (GenBank 登录号 FJ913471) 和 N45 (GenBank 登录号 FJ913472)。N36 (图 1) 包含 987 bp 的开放阅读框, 编码 329 个氨基酸,

推测分子量为 35.7 ku, 理论等电点为 6.35。N45 (图 2) 包含 1 164 bp 的开放阅读框, 编码 387 个氨基酸, 推测分子量为 44.6 ku, 理论等电点为 8.50。氨基酸组成分析表明, 组成 N36 蛋白的主要氨基酸残基为 Asn(22.8%)、Gly(18.2%) 和 Asp(6.7%), 组成 N45 蛋白的主要氨基酸残基为 Gly(8.5%)、Asn(6.5%) 和 Asp(6.5%)。

2.2 结构预测

用 PROSITE 搜索蛋白结构域表明, N36 蛋白不含信号肽, N45 蛋白第 1–22 个氨基酸残基为信号肽 (图 2), 表明 N45 蛋白是 1 种分泌型或膜结合型蛋白。但是 N45 蛋白除信号肽外, 不含穿膜结构域, 如疏水性 α-螺旋或 β-折叠, 因而 N45 蛋白可能是 1 种分泌型蛋白。蛋白二级结构预测分析表明, N36 包含 3 个 α 融合 (19.1%)、7 个 β 折叠 (12.2%) 和无规卷曲 (random coil, 68.7%); N45 包含 5 个 α 融合 (17.1%)、12 个 β 折叠 (16.5%) 和无规卷曲 (66.4%)。N36 蛋白和 N45 蛋白各有 1 个 α-碳酸酐酶结构域 (α-carbonic anhydrases domain), 在 H4 和 H154、H156、H179 分别有 1 个和 3 个锌结合位点 (图 2)。N36 蛋白和 N45 蛋白都有 1 段 Gly-Xaa-Asn (Xaa = Asp, Asn 或 Glu) 重复结构域 (Gly-Xaa-Asn repeat domain) (图 2)。由于 Gly-Xaa-Asn 重复结构域的插入, α-碳酸酐酶结构域被间隔成 2 个亚结构域。

糖基化位点预测发现, N36 蛋白有 1 个 Asn-Gly-Ser (aa 164–166) 和 1 个 Asn-Glu-Thr (aa 286–288) N-连接的糖基化序列, N45 蛋白有 1 个 Asn-Glu-Thr (aa 354–356) N-连接的糖基化序列。磷酸化位点预测分析表明, N36 蛋白含有 13 个潜在的磷酸化位点, 包括 4 个 Ser 位点 (Ser196, Ser231, Ser301, Ser321)、3 个 Thr 位点 (Thr260, Thr325, Thr329) 和 6 个 Tyr 位点 (Tyr46, Tyr97, Tyr116, Tyr122, Tyr216, Tyr314), N45 蛋白含有 16 个潜在的磷酸化位点, 包括 8 个 Ser 位点 (Ser48, Ser52, Ser87, Ser160, Ser165, Ser168, Ser264, Ser299)、4 个 Thr 位点 (Thr6, Thr174, Thr328, Thr378) 和 4 个 Tyr 位点 (Tyr31, Tyr148, Tyr221, Tyr284)。

2.3 同源性比较和系统发生分析

用 BLASTP 在 GenBank 中进行同源搜索, 显示 N36 和 N45 蛋白和大珠母贝的 N66 matrix

protein^[4]、nacrein-like protein^[3]，合浦珠母贝的 nacrein^[1]以及 2 种 nacrein-like protein^[3]，虾夷扇贝的 nacrein-like protein P1、P2^[3] 和岩牡蛎的 nacrein-like protein C1、C2^[3] 具有较高的相似性。

尤其是 α -碳酸酐酶结构域的 36 个活性位点，N36 和 N45 蛋白与其他蛋白显示高度一致性（图 3）^[14]。除 N36 中有 16 个位点缺失外，N45 只有 3 个氨基酸位点不保守。

```

1 ATGGAGGCTCATTTGGTTTCCATCATGATGATAAAAGGAAATCAAACCTCCAAGGGTT
1 M E A (H) L V F H H D D K K E I K P P R V
61 AAGTTAGGGGGAGTGACGCTGGTCGTAACAAATTGTTGCGTGGAGTCCTTAGAG
21 K L G G V Y A G R N K F V V V G V F L E
121 GTGGGTGATGAAGGATACGGTGTGATGAACCGGACGACGATGAATGTAAGCGCATATTAAAG
41 V G D E G Y G D E P D D D E C K R I L K
181 GGTCAATTGCGACAACGATGGGGACAATGGTAACAAATTGTTGATGAAACGGCGACAATGGTAAC
61 G H C D N D G D N G N N C D N G D N G N
241 AACGGCAACAATGGTAACAAACGGAAACAATGGTAACAAACGGTTATAACGGTAAT
81 N G N N G N N G N N G N G N N G N G Y N G N
301 AACGGTGACAATGGAAACAATGGCAATGGTAATGGTAACAAACGGTTATAACGGTAATAAC
101 N G D N G N N G N G N G N N G Y N G N N
361 GGTTACAATGGCAACAACGGAAACAATGGTAATGGTAACAAATGGCAATAATGGTAACGGT
121 G Y N G N N G N N G N G N N G N N G N G N G
421 AACAAACGGAAATAACGGTGGCAATGGTAACAAACGGAAACAATGGTAATGGTAACAAATGAA
141 N N G N N G G N G N N G N N G N G N G N N E
481 ATAATGGTAACGGTAGTAATGGTAACAAACGGTGGAAACGAGAACAAATGGTAATAACGGT
161 N N G N G S N G N N G G N E N N N G N N G
541 GATAACGGTAATGGCGACAATGGTTATAACGGTGTATAATGGTAACAGTGACGAGCGACTC
181 D N G N G D N G Y N G D N G N S D E R L
601 AGACGCTGGGATTGGCAAATGTCCGACGCATGCCGAGCGATATCACTTAGCGGA
201 R R W D L A N V R R M H A E R Y H F S G
661 AGATGTATGGTCAAAAAAGCTAAACGCCCTCAGCAGGATTCTCGAATGCGCATATAGACAC
221 R C M V K K A K R L S R I L E C A Y R H
721 AAAAAAGTCAGAGAATTCAAAGGAATGGAGAAGAGAAAAGGTCTTGATGTTGATATTACA
241 K K V R E F K R N G E E K G L D V D I T
781 CGGGAAATGGTTTACCGCCAATGAAATACAGACAATACTATACCTATGAAGGATCTTG
261 P E M V L P P M K Y R Q Y Y T Y E G S L
841 ACAACCCCTCCTTGCATGAGACAGTCCTTGGGTTGTTGAAAAATGCCACGTGCAAGTA
281 T T P P C N E T V L W V V E K C H V Q V
901 TCCAGAAGGGTGTGATGCATTGCGAACGTCGAAGGATATGAGGATGGTACCAACGCTG
301 S R R V L D A L R N V E G Y E D G T T L
961 AGCAAGTATGGAACTAGACGTCCAACACA
321 S K Y G T R R P T

```

图 1 大珠母贝 N36 基因的核苷酸序列和推测的氨基酸序列

Fig. 1 Nucleotide and deduced amino acid sequences of N36 gene from *P. maxima*

注：阴影表示 Gly-Xaa-Asn 重复结构域；粗体表示 α -碳酸酐酶结构域；圆圈表示锌结合位点；ATG 表示起始密码子。

```

1 ATGTGGAGAATGACGACGCTTCTTCACTTGACTGCTCTGCTTGTGATTCCATTATGT
1 M W R M T T L L H L T A L L V L I P L C
61 CATTGCGCCTCCATGCACAGGCATGACCATTATATGGACATGGATCAAACCTACCCCTAAT
21 H C A S M H R H D H Y M D M D Q T Y P N
121 GGATTGGGATACTGTGAACCTTCAGGTGAAAGCAGCTGTAAGCCGGATTAGCTACAAT
41 G L G Y C E P S G E S S C K A G F S Y N
181 AGAGACATATGCCAAGGTCGATCATGGCACACTATATCTAGTTGCTATAAGGCATGT
61 R D I C Q G P Y H W H T I S S C Y K A C
241 GGACATAAAAGGAGACAATCACCAATCACATTTGGTCACATAAGCTGTATTCTTACCT
81 G H K R R Q S P I N I W S H K A V F L P
301 TATCTGCCAACAGACTGAAATTCAAGCCACATATGAAGTCATTGGATACGGATGTGACAAAT
101 Y L P R L K F K P H M K S L D T D V T N
361 CACCAAAATCGTCCCCCTGAATTCGAGCCGGAGGACGGAGATAAGCTTCATGTGAAACTA
121 H Q N R A P E F E P E D G D K L H V K L
421 AAGAATCTTGGTGTGGACATTATAAATTCACAATCTCCATATTCAACACGGCAAAAGT
141 K N L V D G H Y K F H N L H I H N G K S
481 AGACGAAAGGGCTCGAACACAGCGTGAACAGACATTTCAGCCATGGAGGCTCATTTG
161 R R K G S E H S V N R H F T P M E A H L
541 GTGTTCCATCATGATGATAAAAAGGAAATCAAACCTCCAAGGGTTAAGTTAGGGGGAGTG
181 V F H H D D K K E I K P P R V K L G G V
601 TACGCTGGTCGTAACAAATTGTTGTCGTTGGAGTCTTCTAGAGGTGGGTGATGAAGGA
201 Y A G R N K F V V V G V F L E V G D E G
661 TACGGTGATGAACCGGACGACGATGAATGTAAGCGCATATTAAAGGGTCATTGCGAGAAC
221 Y G D E P D D D E C K R I L K G H C E N
721 AATGGGGACAATGGTAACAACTGTGATAACGGTAATGGCGACAATGGTTAACGGTGAT
241 N G D N G N N C D N G N G D N G Y N G D
781 AATGGTAACAGTGACGGCGACTCAGACGCTGGGATTGGCAAATGTCCGACGCATGCAT
261 N G N S D G R L R R W D L A N V R R M H
841 GCCGAGCGATATCACTTAGCGGAGGATGTATCGTCAAAAAAGCTAAACGCCCTCAGCAGG
281 A E R Y H F S G G C I V K K A K R L S R
901 ATTCTGAATGCGCATATAGACACAAAAAGTCAGAGAATTCAAGAGGAATGGAGAAGAA
301 I L E C A Y R H K K V R E F R R N G E E
961 AAAGGTCTTGTGATGTTGATATTACACCGGAAATGGTTTACCGCCAATGAAATACAGACAT
321 K G L D V D I T P E M V L P P M K Y R H
1021 TACTATACTTATGAAGGATCTTGTCAACCCCTCCTTGCAATGAGACCGTCCTTGGGTT
341 Y Y T Y E G S L S T P P C N E T V L W V
1081 GTTGAAAATGCCACGTGCAAGTATCCAGAAGGGTGCTGATGCGTTGCGGAACGTCGAAG
361 V E N A T C K Y P E G C L M R C G T S K
1141 GATATGAAGATGGTACCAACGCTGAGCAAGTATGGAACCAGACGTCACACGAAGAAACA
381 D M K M V P R *
1201 AGCATCCTCTACGTGTGACAAAACTCCATA

```

图2 大珠母贝N45基因的核苷酸序列和推测的氨基酸序列

Fig. 2 Nucleotide and deduced amino acid sequences of N45 gene from *P. maxima*

注:下划线表示信号肽;阴影表示Gly-Xaa-Asn重复结构域;粗体表示 α -碳酸酐酶结构域;圆圈表示锌结合位点;ATG表示起始密码子;TGA表示终止密码子。

Pf-nacrein :	AGFSYDRSICEGPRYWQTISKCFIACGIGQRQSPINIVSYDAKFRQRLPKLKFPHMEKLKTEVTNH	: 67
Pf-nacrein :	-----	: -
Cn-nacrein :	AGFSYDRSICEGPHYWHTISKCFIACGIGQRQSPINIVSYDAKFRQRLPKLKFPHMEKLKTEVTNH	: 67
My-nacrein :	-----	: 36
My-nacrein :	AGFSYDRSICEGPHYWHTISKCFIACGIGQRQSPINIVSYDAKFRQRLPKLKFPHMEKLKTEVTNH	: 67
Pm-nacrein :	AGFSYDRSICEGPHYWHTISKCFIACGIGQRQSPINIVSYDAKFRQRLPKLKFPHMEKLKTEVTNH	: 67
Pf-nacrein :	AGFSYDRSICEGPHYWHTISKCFIACGIGQRQSPINIVSYDAKFRQRLPKLKFPHMEKLKTEVTNH	: 67
Cn-nacrein :	-----	: 36
Pm-N36 :	-----	: -
Pm-N66 :	AGFSYNRDICQGPYHWHTISSCYKACGHKRRQSPINIWSHKAVFLFPYLPRLKFKPHMKSLDVTNH	: 67
Pm-N45 :	AGFSYNRDICQGPYHWHTISSCYKACGHKRRQSPINIWSHKAVFLFPYLPRLKFKPHMKSLDVTNH	: 67
Pf-nacrein :	QNRAPEFEPEDGENLYVKLNNLVLDGHYKFHNLLVINGRTRRKGSSEHVNNGRFTPMEAALVVFHHDEQT	: 134
Pf-nacrein :	-----	: 51
Cn-nacrein :	QNRAPEFEPEDGENLYVKLNNLVLDGHYKFHNLLVINGRTRRKGSSEHVNNGRFTPMEAALVVFHHDEQT	: 134
My-nacrein :	QNRAPEFEPEDGENLYVKLNNLVLDGHYKFHNLLVINGRTRRKGSSEHVNNGRFTPMEAALVVFHHDDQT	: 103
My-nacrein :	QNRAPEFEPEDGENLYVKLNNLVLDGHYKFHNLLVINGRTRRKGSSEHVNNGRFTPMEAALVVFHHDDQT	: 134
Pm-nacrein :	QNRAPEFEPEDGENLYVKLNNLVLDGHYKFHNLLVINGRTRRKGSSEHVNNGRFTPMEAALVVFHHDDQT	: 134
Pf-nacrein :	QNRAPEFEPEDGENLYVKLNNLVLDGHYKFHNLLVINGRTRRKGSSEHVNNGRFTPMEAALVVFHHDDQT	: 134
Cn-nacrein :	QNRAPEFEPEDGENLYVKLNNLVLDGHYKFHNLLVINGRTRRKGSSEHVNNGHFTPMEAALVVFHHDEQT	: 103
Pm-N36 :	-----	: 13
Pm-N66 :	QNRAPEFEPEDGDKLHVVKLKNLVLDGHYKFHNLLVINGKSRRKGSEHVNVRHFTPMEAALVVFHHDDKK	: 134
Pm-N45 :	QNRAPEFEPEDGDKLHVVKLKNLVLDGHYKFHNLLVINGKSRRKGSEHVNVRHFTPMEAALVVFHHDDKK	: 134
Pf-nacrein :	HFEPTRTKLGGAFFGHNDENVVVGVLLEVGGDDGFGDPPDDECKHILKGHHP-----DNNE	: 189
Pf-nacrein :	HFEPTRTKLGGAFFGHNDENVVVGVLLEVGGDDGFGDPPDDECKHILKGHHP-----DNNE	: 106
Cn-nacrein :	HFEPTRTKLGGAFFGHNDENVVVGVLLEVGGDDGFGDPPDDECKHILKGHHP-----DNNE	: 189
My-nacrein :	HFEPTRTKLGGAFFGHNDENVVVGVLLEVGGDDGFGDPPDDECKHILKGHHP-----DNNE	: 158
My-nacrein :	HFEPTRTKLGGAFFGHNDENVVVGVLLEVGGDDGFGDPPDDECKKRILKGHHP-----DNNE	: 189
Pm-nacrein :	HFEPTRTKLGGAFFGHNDENVVVGVLLEVGGDDGFGDPPDDECKKRILKGHHP-----DNNE	: 189
Pf-nacrein :	HFEPTRTKLGGAFFGHNDENVVVGVLLEVGGDDGFGDPPDDECKHILKGHHP-----DNNE	: 189
Cn-nacrein :	HFEPTRTKLGGAFFGHNDENVVVGVLLEVGGDDGFGDPPDDECKHILKGHHP-----DNNE	: 158
Pm-N36 :	EIKPPRVKLGGVYAGRNLKEVVVGVLLEVGDGYGDEPDDECKKRILKGHCDNDSDERLRRWDLANVR	: 80
Pm-N66 :	EIKPPRVKLGGVYAGRNLKEVVVGVLLEVGDGYGDEPDDECKKRILKGHCE--SDGRRLRWDLANVR	: 199
Pm-N45 :	EIKPPRVKLGGVYAGRNLKEVVVGVLLEVGDGYGDEPDDECKKRILKGHCE--SDGRRLRWDLANVR	: 199
Pf-nacrein :	NGNGHKH----GCRVKKAKHLSRILECAYRNDKVREFKKVGEEEGLDVHLTPEMALPPLKYRHYTT	: 252
Pf-nacrein :	NGNGHKH----GCLVKKAKHLSRILECAYRNDKVREFKKVGEEEGLDVHLTPEMALPPLK-----	: 162
Cn-nacrein :	NGNGHKH----GCRVKKAKHLSRILECAYRNDKVREFKKVGEEEGLDVHLTPEMALPPLKYRHYTT	: 252
My-nacrein :	NGNGHKH----GCRVKKAKHLSRILECAYRNDKVREFKKVGEEEGLDVHLTPEMPLPPLKNRHYTT	: 221
My-nacrein :	NGNGHKH----GCRVKKAKHLSRILECAYRNDKVREFKKVGEEEGLDVHLTPEMPLPPLKNRHYTT	: 252
Pm-nacrein :	NGNGHKH----GCRVKKAKHLSRILECAYRNDKVREFKKVGEEEGLDVHLTPEMALPPLKYRHYTT	: 252
Pf-nacrein :	NGNGHKH----GCRVKKAKHLSRILECAYRNDKVREFKKVGEEEGLDVHLTPEMALPPLKYRHYTT	: 252
Cn-nacrein :	NGNGHKH----GCRVKKAKHLSRILECAYRNDKVREFKKVGEEEGLDVHLTPEMPLPPLKNRHYTT	: 221
Pm-N36 :	RMHAERYHFSGRCMVKKAKRLSRILECAYRHKKVRFFKRNGEEKGLDWDITPEMVLPPMKYRHYTT	: 147
Pm-N66 :	RMHAERYHFSGGCIVVKKAKRRLSRILECAYRHKKVRFFKRNGEEKGLDWDITPEMVLPPMKYRHYTT	: 266
Pm-N45 :	RMHAERYHFSGGCIVVKKAKRRLSRILECAYRHKKVRFFRNGEEKGLDWDITPEMVLPPMKYRHYTT	: 266
Pf-nacrein :	EGSLTTPPCITESVLMVVVKCHVQVSRRVLHALRKVEGYKDGTTLRKYGTTRRPTQKKNKVTVYKSF--	: 316
Pf-nacrein :	-----	: -
Cn-nacrein :	EGSLTTPPCITESVLMVVVKCHVQVSRRVLHALRNVEGYKDGTTLRKYGTTRRPTQKKNKVTVYKSF--	: 316
My-nacrein :	EGSLTTPPCITESVLMVVVKCHVQVSRRVLHALRNVEGY-----	: 259
My-nacrein :	EGSLTTPPCITESVLMVVVKCHVQVSRRVLHALRNVEGYKDGTTLRKYGTTRRPTQKKNKVTVYKSF--	: 316
Pm-nacrein :	EGSLTTPPCITESVLMVVVKCHVQVSRRVLHALRNVEGYKDGTTLRKYGTTRRPTQKKNKVTVYKSF--	: 316
Pf-nacrein :	EGSLTTPPCITESVLMVVVKCHVQVSRRVLHALRNVEGYKDGTTLRKYGTTRRPTQKKNKVTVYKSF--	: 316
Cn-nacrein :	EGSLTTPPCITESVLMVVVKCHVQVSRRVLHALRNVEGY-----	: 259
Pm-N36 :	EGSLTTPPCNETVLMVVVKCHVQVSRRVLDALRNVEGYEDGTTLSKYGTTRRPT-----	: 200
Pm-N66 :	EGSLTTPPCNETVLMVVVKCHVQVSRRVLDALRNVEGYEDGTTLSKYGTTRRPTQRNKHPLRVYKNS	: 332
Pm-N45 :	EGSLSTPPCNETVLMVVENATCKYP-----EGCLMRCGTSKDMEIMVPR-----	: 309

图3 α -碳酸酐酶结构域的多序列比对Fig. 3 Multiple sequence alignment of α -carbonic anhydrase domain

注：阴影表示 α -碳酸酐酶结构域的活性位点，方框表示锌结合位点；Pf. 合浦珠母贝；Cn. 岩牡蛎；My. 虾夷扇贝；Pm. 大珠母贝。

使用 MEGA 3.1 软件, 采用 NJ (Neighbour-joining) 法构建 α -碳酸酐酶结构域氨基酸序列 (去除了中间的重复结构域) 的系统进化树, 结果显示, N36 和 N45 与 N66 进化关系最近, 聚在同一分支, 而其他蛋白则位于另一分支, 而且 2 个分支比较长, 遗传距离较远(图4)。

3 讨论

碳酸酐酶(Carbonic Anhydrases, CAs)是一类分布广泛的含锌金属酶, 它能够可逆性地催化二氧化碳的水合反应: $\text{CO}_2 + \text{H}_2\text{O} \rightleftharpoons \text{HCO}_3^- + \text{H}^+$ ^[15-16]。根据进化上的不同, CAs 通常分为 5

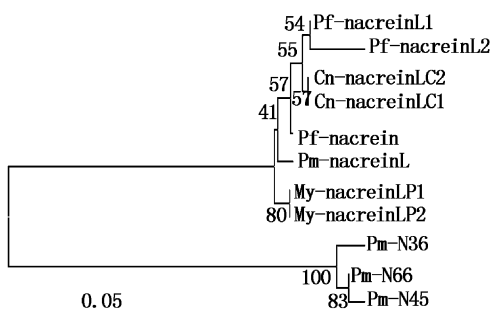


图4 大珠母贝 N36 和 N45 蛋白与其他 α -碳酸酐酶蛋白 α -碳酸酐酶结构域的进化关系

Fig. 4 Phylogenetic analysis of α -carbonic anhydrase domain of N36, N45 and other α -carbonic anhydrase proteins

注: Pm. 大珠母贝; Pf. 合浦珠母贝; My. 虾夷扇贝; Cn. 岩牡蛎; nacreinL. nacrein-like protein。

个家族: α , β , γ , δ 和 ε 。 α -CAs 是一个主要由反平行的 β -折叠片组成的、由两个半球组成的球形分子, 表面还分布有一些相对较短的 α -螺旋结构^[17-18]。与 N66、nacrein 类似, N36 和 N45 的 α -碳酸酐酶结构域都被 Gly-Xaa-Asn 重复结构域间隔成 2 个亚结构域, 这 2 个亚结构域可能作为组成该分子球形结构的两个半球。N36 蛋白的两个 α -碳酸酐酶亚结构域分别含有 4 个和 3 个 β -折叠片, N45 分别含有 8 个和 4 个, 而 N66(19 个)和 nacrein(18 个)则含有更多, 推测 N45 比 N36 形成的三级结构更利于碳酸酐酶结构域发挥催化作用, N66 和 nacrein 则比 N45 更有利。 α -CAs 的活性位点含有 3 个保守的 His 残基, α -CAs 通过 3 个保守的 His 结合 1 个 Zn^{2+} 。N36 蛋白只含 1 个保守的 His 残基, 而 N45、N66 和 nacrein 则都含 3 个。除 3 个与 Zn^{2+} 结合的 His(作为直接受体通过季铵氮原子与 Zn^{2+} 配位结合)外, 酸酐酶结构域还有 33 个保守的氨基酸位点^[1,14], 这些位点有的作为非直接配体形成氢键, 有的组成的一个大的疏水袋以结合底物 CO_2 , 有的作为质子转运体再生有催化活性的 $EZnOH^-$ 。这 36 个活性位点的高度保守性显示了 N36 和 N45 蛋白与其他 nacrein 样蛋白在碳酸酐酶活性上的高度相似性, 而它们保守性的高低可能反映了其碳酸酐酶活性的强弱。无论是三级结构预测还是活性位点分析都显示 N66 在这些蛋白中的碳酸酐酶活性是最强的, nacrein 仅次于 N66 而强于 N45 蛋白, N36 则低于三者。

KONO 等^[4]认为 Gly-Xaa-Asn 重复结构域很可能参与晶体的生长, 而且重复序列 Gly-Xaa-Asn 越长, 与钙、基质组份和晶体的结合能力就越强, 从而影响珍珠层的形成速度和质量差异。N36 蛋白的 Gly-Xaa-Asn 重复序列长 129 个氨基酸, 在 nacrein 样蛋白中仅次于 N66, 而 N45 蛋白的仅为 24 个氨基酸, 推测 N36 蛋白比 N45 蛋白对 Ca^{2+} 有更强的结合能力。

磷酰基和糖链可能和生物矿化过程有密切关系^[19]。N36 和 N45 蛋白分别有 13 个和 16 个潜在的磷酸化位点, 氨基酸残基的磷酸化可能改变蛋白质的三级结构, 并且参与蛋白质和钙的相互作用。大多数珍珠质水溶性基质蛋白含有一定数目的糖链, N36 和 N45 蛋白也分别有 2 个和 1 个糖基化位点, 推测二者为糖蛋白。TAKAKURA 等^[20]发现 nacrein 是一种糖蛋白, 其糖链中的亚硫酸盐和唾液酸可能为促进 Ca^{2+} 的摄取提供必需的负电荷。N36 和 N45 蛋白的糖链可能也有类似的作用。N45 蛋白在 N-端有一段信号肽序列, 是一种分泌型蛋白, 推测其由大珠母贝外套膜合成后分泌至外套腔, 从而参与贝壳或珍珠质的形成。

参考文献:

- [1] MIYAMOTO H, MIYASHITA T, OKUSHIMA M A, et al. A carbonic anhydrase from the nacreous layer in oyster pearls [J]. Proc Natl Acad Sci USA, 1996, 93(18): 9657-9660.
- [2] MIYAMOTO H, MIYOSHI F, KOHNO J. The carbonic anhydrase domain protein nacrein is expressed in the epithelial cells of the mantle and acts as a negative regulator in calcification in the mollusc *Pinctada fucata* [J]. Zool Sci, 2005, 22: 311-315.
- [3] NORIZUKI M, SAMATA T. Distribution and function of the nacrein-related proteins inferred from structural analysis [J]. Mar Biotechnol, 2008, 10 (3): 234-241.
- [4] KONO M, HAYASHI N, SAMATA T. Molecular mechanism of the nacreous layer formation in *Pinctada maxima* [J]. Biochem and Biophys Res Commun, 2000, 269(1): 213-218.
- [5] WHEELER D L, CHAPPER C, LASH A E, et al. Database resources of the National Center for Biotechnology Information [J]. Nucl Acids Res, 2000, 28(1): 10-14.
- [6] EMANUELSSON O, BRUNAK S, von HEIJNE G, et al. Locating proteins in the cell using TargetP, SignalP and related tools [J]. Nature protocols, 2007, 2(4): 953-971.
- [7] HOFMANN K, STOFFEL W. TMbase-a database of membrane spanning protein segments [J]. Biol Chem Hoppe-Seyler,

- 1993, 374: 166 – 170.
- [8] BAIROCH A , BUCHER P, HOFMANN K. The Prosite database, its status in 1997[J]. Nucl Acids Res, 1997, 25(1) : 217 – 221.
- [9] JONES D T. Protein secondary structure prediction based on position-specific scoring matrices[J]. J Mol Biol, 1999, 292 (2) : 195 – 202.
- [10] BLOM N, GAMMELTOFT S, BRUNAK S. Sequence- and structure-based prediction of eukaryotic protein phosphorylation sites[J]. J Mol Biol, 1999, 294(5) : 1351 – 1362.
- [11] BLOM N, GAMMELTOFT S, BRUNAK S. Sequence and structure-based prediction of eukaryotic protein phosphorylation sites[J]. J Mol Biol, 1999, 294(5) : 1351 – 1362.
- [12] THOMPSON J D, GIBSON T J, PLEWNIAK F, et al. The Clustal X windows interface: flexible strategies for multiple sequence alignment aided by quality analysis tools [J]. Nucl Acids Res, 1997, 25(24) : 4876 – 4882.
- [13] KUMAR S, GADAKAR S R. Disparity index: a simple statistic to measure and test the homogeneity of substitution patterns between molecular sequences [J]. Genetics, 2001, 158 (3) : 1321 – 1327.
- [14] TASHIAN R E. The carbonic anhydrases: widening perspectives on their evolution, expression, and function [J]. BioEssays, 1989, 10;186 – 192.
- [15] KEILIN D, MANN T. Carbonic anhydrase, purification and nature of the enzyme[J]. Biochem J, 1940, 34:1163 – 1176.
- [16] HEWETT-EMMETT D, TASHIAN R E. Functional diversity, conservation, and convergence in the evolution of the α -, β -, and γ -carbonic anhydrase gene families [J]. Mol Phylogenet Evol, 1996, 5: 50 – 77.
- [17] LINDSKOG S. Structure and mechanism of carbonic anhydrase [J]. Pharmacol Ther, 1997, 74:1 – 20.
- [18] HUNT J A, AHMED M, FIERKE C A. Metal binding specificity in carbonic anhydrase is influenced by conserved hydrophobic core residues [J]. Biochemistry, 1999, 38 (28) : 9054 – 9062.
- [19] BORBAS J E, WHEELER A P, SIKES C S. Molluscan shell matrix phosphoproteins: correlation of degree of phosphorylation to shell mineral microstructure and to *in vitro* regulation of mineralization[J]. J Exp Zool, 1991, 258 (1) : 1 – 13.
- [20] TAKAKURA D, NORIZUKI M, ISHIKAWA F, et al. Isolation and characterization of the N-linked oligosaccharides in nacrein from *Pinctada fucata*[J]. Mar Biotechnol, 2008, 10 (3) :290 – 296.

Cloning and characterization of nacre-related genes in silver-lip pearl oyster *Pinctada maxima*

WANG Yu-mei^{1,2}, XIA Jian-hong¹, TANG Ren-sheng¹, YU Da-hui¹

(1. Key Laboratory of Mariculture, Ecology and Quality Control, Ministry of Agriculture, South China Sea Fisheries Research Institute, Chinese Academy of Fishery Sciences, Guangzhou 510300, China; 2. College of Fisheries and Life Science, Shanghai Ocean University, Shanghai 201306, China)

Abstract: We have cloned two cDNAs that encode N66-like proteins in *Pinctada maxima* and are named N36 and N45, respectively. The open reading frame (ORF) of N36 was 987 bp long, encoding 329 amino acids with molecular mass estimated to be 35.7 kD while the ORF of N45 was 1 164 bp, encoding 387 amino acids with estimated molecular mass of 44.6 kD. Both proteins were rich in Gly, Asn and Asp residues. There was no signal peptide in N36 protein while the amino acid residues 1 – 22 in N45 showed a typical signal peptide. N36 and N45 contained 2 and 1 putative glycosylation sequences, 9 and 16 putative phosphorylation sites, respectively. Their secondary structure consisted of α -helix, β -sheet and coil. Phylogenetic analysis indicated that N36 and N45 were more closely related to N66 than other nacrein-like proteins. Similar to nacrein in *P. fucata* and N66 in *P. maxima*, N36 and N45 proteins contained two functional domains: α -carbonic anhydrase domain and Gly-Xaa-Asn (Xaa = Asp, Asn or Glu) repeat domain, suggesting that both N36 and N45 are likely to participate in calcium carbonate crystal formation in nacreous layer.

Key words: *Pinctada maxima*; nacre-related gene; α -carbonic anhydrase domain; Gly-Xaa-Asn repeat domain